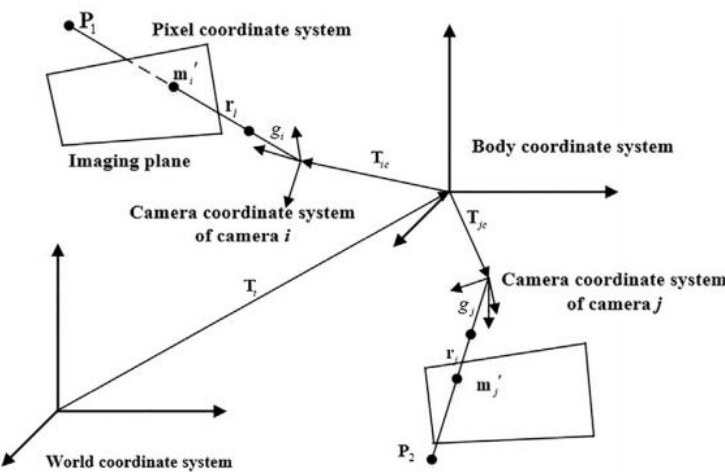
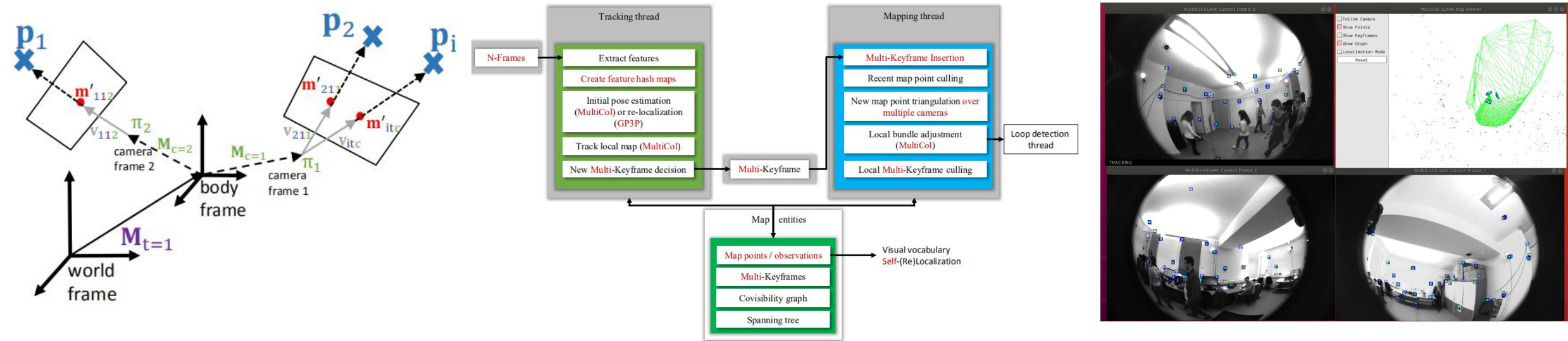


多相机SLAM方案

AI-SmartVision-SLAM

2021.2.5

0. 论文方案（多是基于ORB框架和PTAM框架的特征点法）



多相机构建的单帧

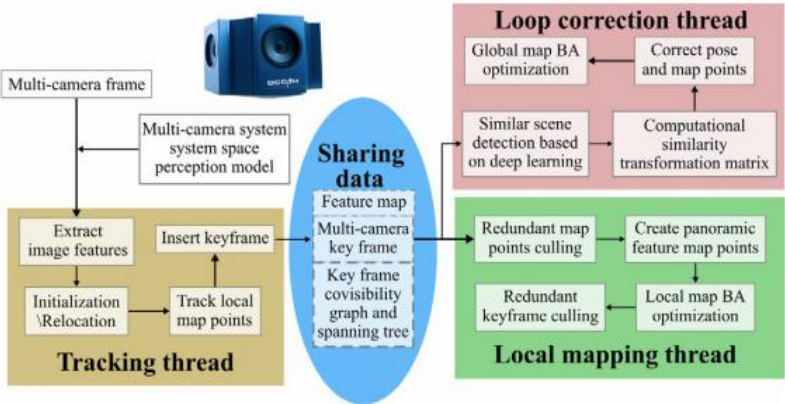


Fig. 3. Complete framework of Multi-camera SLAM system.

系统流程图

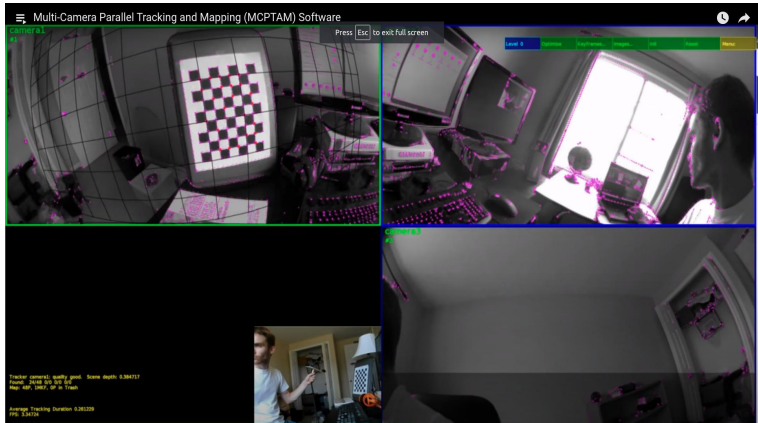
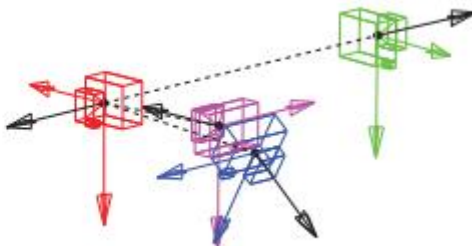
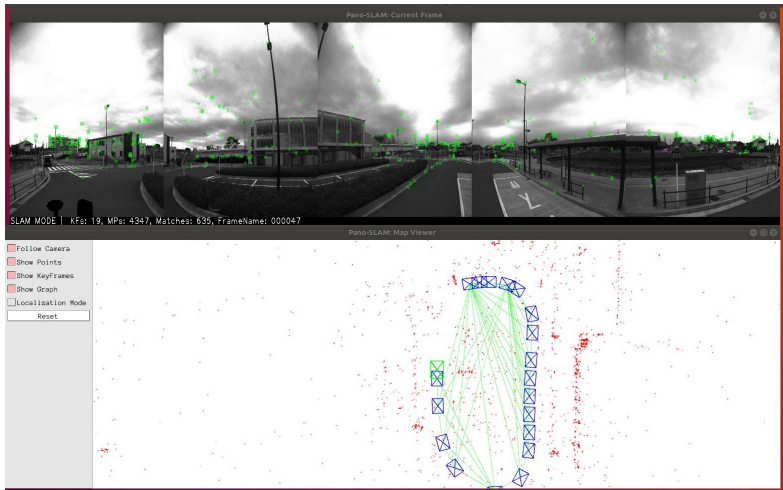
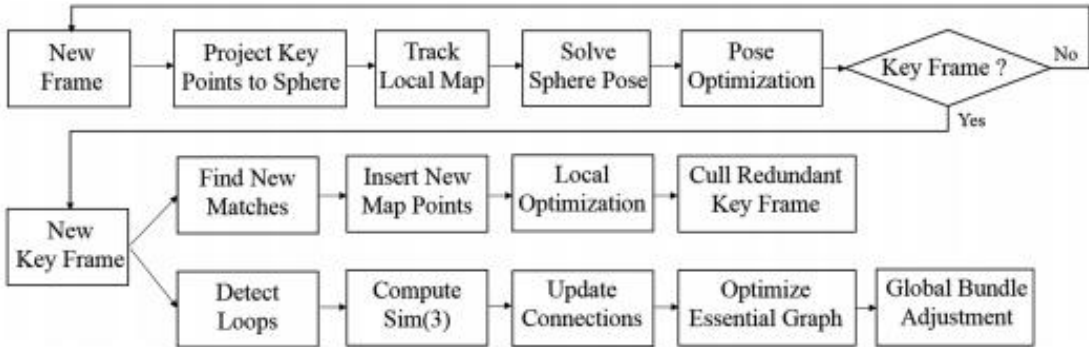
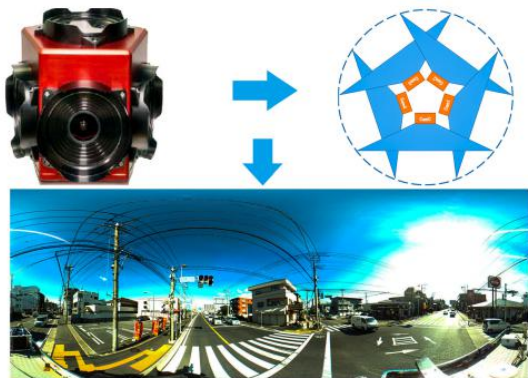


Fig. 7. The vehicle used for collecting data with a panoramic camera and an integrated navigation system.



实物图

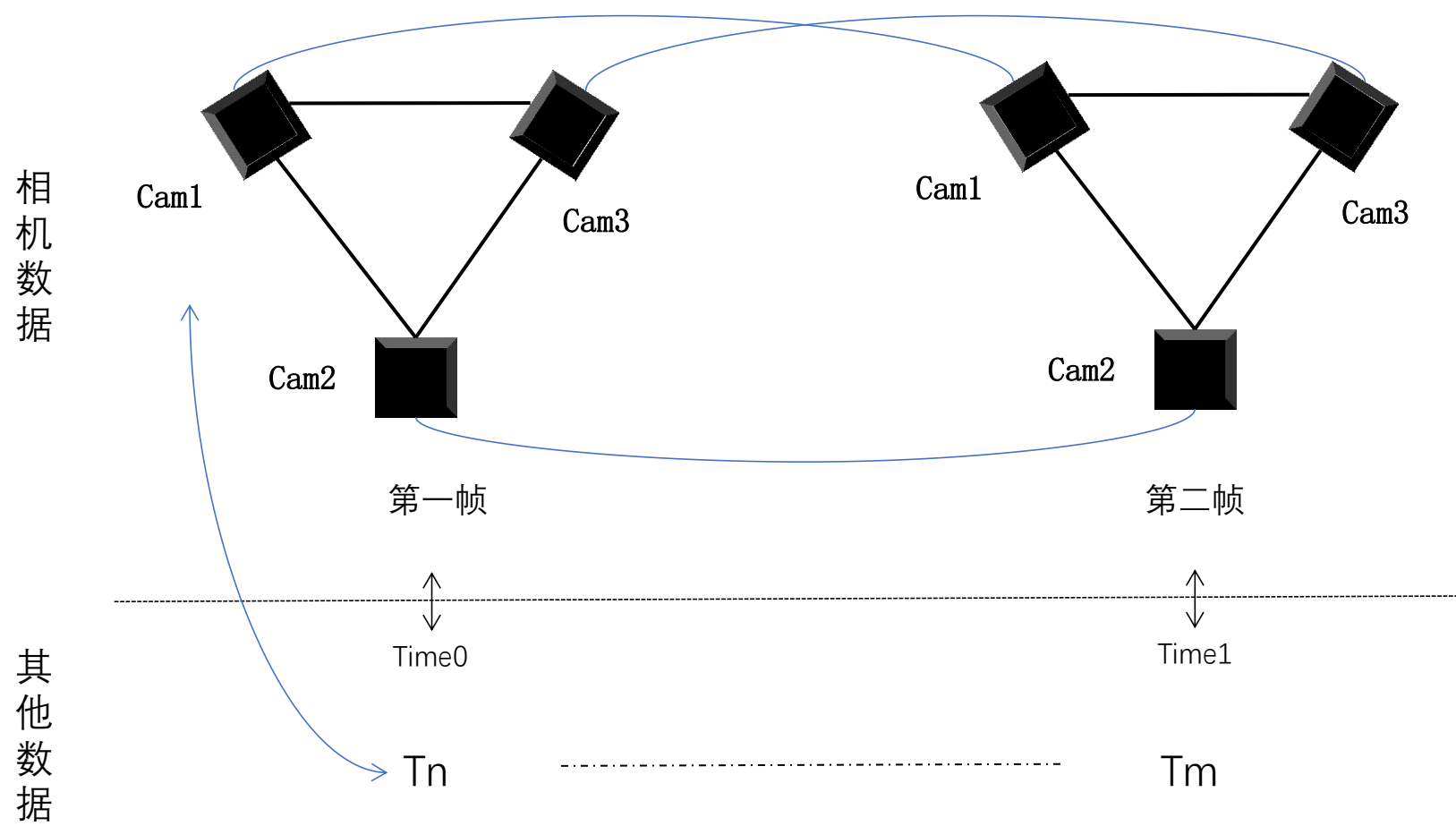
0. 论文方案（多是基于ORB框架和PTAM框架的特征点法）



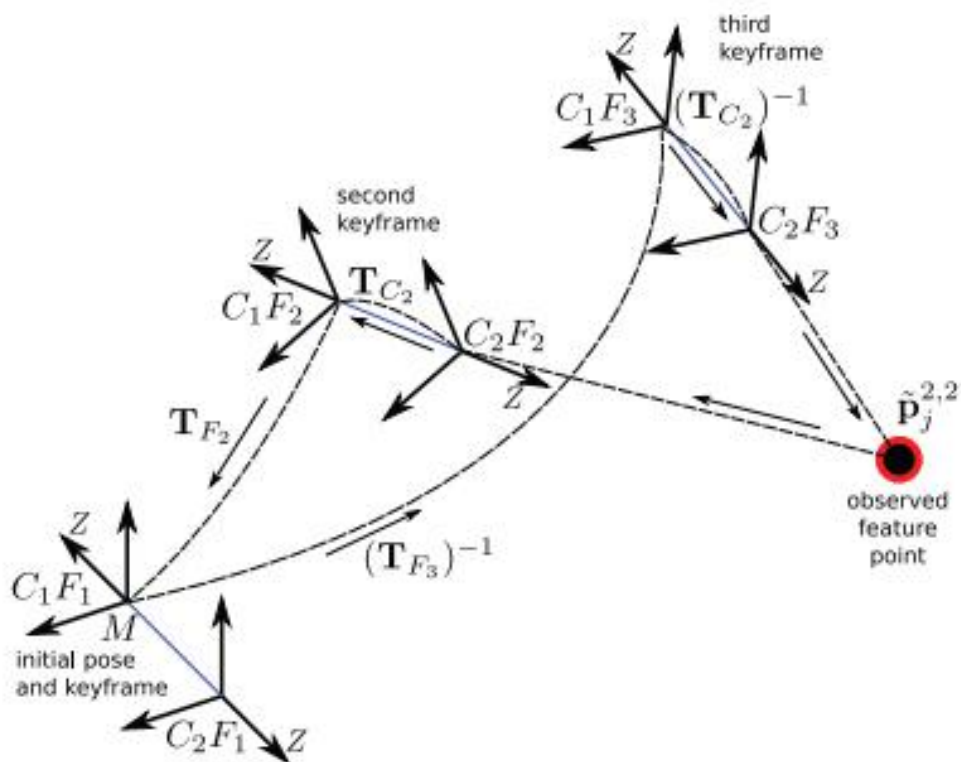
1.初始化

- a.尺度问题
- b.位姿对齐问题
- c. 初始化是否成功

跟踪过程相同



2. 多相机BA优化



以两个相机为例可以拓展为n个相机

观测量：

$$\mathbf{g}_j^{i,\ell}(\mathbf{x}) = \kappa_i \left(\pi_3 \left((\mathbf{T}_{C_i})^{-1} (\mathbf{T}_{F_i})^{-1} \mathbf{T}_{F_k} \mathbf{T}_{C_h} \tilde{\mathbf{p}}_j^{h,k} \right) \right)$$

待优化量：

$$\delta = \left[\delta_{F_1}^\top \quad \dots \quad \delta_{F_{n_k}}^\top \quad \delta_{P_1}^\top \quad \dots \quad \delta_{P_{n_f}}^\top \right]^\top \in \mathbb{R}^{(6n_k + 3n_f)}$$

扰动：

$$\tilde{\mathbf{p}}_j^{i,\ell} = \mathbf{T}_{C_i}^{-1} (\mathbf{T}_{F_i} \boxplus_{\mathcal{F}} \delta_{F_i})^{-1} (\mathbf{T}_{F_k} \boxplus_{\mathcal{F}} \delta_{F_k}) \mathbf{T}_{C_h} \left[(\mathbf{p}_j \boxplus_{\mathcal{P}} \delta_{P_j})^\top \quad 1 \right]^\top$$

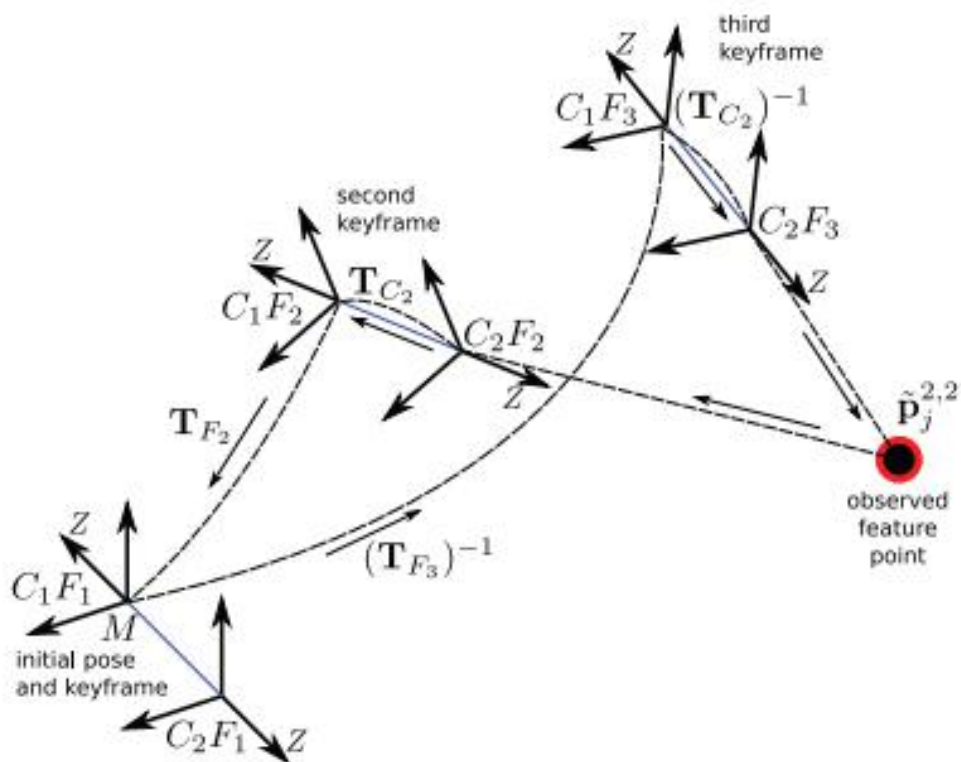
误差对状态量的导数（两部分）：

$$\mathbf{J}_j^{i,\ell} = \left. \frac{\partial \mathbf{g}_j^{i,\ell}(\tilde{\mathbf{x}} \boxplus_{\mathcal{S}} \delta)}{\partial \delta} \right|_{\delta=0} = \mathbf{H}_j^{i,\ell} \mathbf{G}_j^{i,\ell}$$

where

$$\mathbf{H}_j^{i,\ell} = \left. \frac{\partial \kappa_i(\pi_3(\tilde{\mathbf{p}}_j^{i,\ell}))}{\partial \tilde{\mathbf{p}}_j^{i,\ell}} \right|_{\delta=0} \quad \text{and} \quad \mathbf{G}_j^{i,\ell} = \left. \frac{\partial \tilde{\mathbf{p}}_j^{i,\ell}}{\partial \delta} \right|_{\delta=0}$$

2. 多相机BA优化



以两个相机为例可以拓展为n个相机

导数中的非零块：

$$\mathbf{G}_j^{i,\ell} = \begin{bmatrix} \mathbf{0} & \frac{\partial \tilde{\mathbf{p}}_j^{i,\ell}}{\partial \delta_{F_k}} & \mathbf{0} & \dots & \mathbf{0} & \frac{\partial \tilde{\mathbf{p}}_j^{i,\ell}}{\partial \delta_{F_\ell}} & \mathbf{0} & \dots & \mathbf{0} & \frac{\partial \tilde{\mathbf{p}}_j^{i,\ell}}{\partial \delta_{P_j}} & \mathbf{0} \end{bmatrix}$$

主帧和观测帧导数：

$$\begin{aligned} \frac{\partial \tilde{\mathbf{p}}_j^{i,\ell}}{\partial \delta_{F_k}} &= ((\mathbf{T}_{C_i})^{-1}(\mathbf{T}_{F_\ell})^{-1}) \frac{\partial \mathbf{T}_{\mathcal{F}}(\delta_{F_k})}{\partial \delta_{F_k}} (\mathbf{T}_{F_k} \mathbf{T}_{C_h} \tilde{\mathbf{p}}_j) \\ &= (\mathbf{T}_{C_i})^{-1}(\mathbf{T}_{F_\ell})^{-1} \begin{bmatrix} \mathbf{I}_{3 \times 3} & -[\mathbf{p}_j^M]_{\times} \\ \mathbf{0}_{1 \times 3} & \mathbf{0}_{1 \times 3} \end{bmatrix} \end{aligned}$$

$$\begin{aligned} \frac{\partial \tilde{\mathbf{p}}_j^{i,\ell}}{\partial \delta_{F_\ell}} &= ((\mathbf{T}_{C_i})^{-1}(\mathbf{T}_{F_\ell})^{-1}) \frac{\partial (\mathbf{T}_{\mathcal{F}}(\delta_{F_\ell})^{-1})}{\partial \delta_{F_\ell}} (\mathbf{T}_{F_k} \mathbf{T}_{C_h} \tilde{\mathbf{p}}_j) \\ &= ((\mathbf{T}_{C_i})^{-1}(\mathbf{T}_{F_\ell})^{-1}) \frac{\partial \mathbf{T}_{\mathcal{F}}(-\delta_{F_\ell})}{\partial \delta_{F_\ell}} (\mathbf{T}_{F_k} \mathbf{T}_{C_h} \tilde{\mathbf{p}}_j) \\ &= (\mathbf{T}_{C_i})^{-1}(\mathbf{T}_{F_\ell})^{-1} \begin{bmatrix} -\mathbf{I}_{3 \times 3} & [\mathbf{p}_j^M]_{\times} \\ \mathbf{0}_{1 \times 3} & \mathbf{0}_{1 \times 3} \end{bmatrix} \end{aligned}$$

3d点导数：

$$\frac{\partial \tilde{\mathbf{p}}_j^{i,\ell}}{\partial \delta_{P_j}} = \|\mathbf{p}_j\| (\mathbf{T}_{C_i})^{-1}(\mathbf{T}_{F_\ell})^{-1} \mathbf{T}_{F_k} \mathbf{T}_{C_h} \begin{bmatrix} \mathcal{R}P_j(\mathbf{p}_j) \begin{bmatrix} 0 & 1 & 0 \\ -1 & 0 & 0 \\ 0 & 0 & 1 \end{bmatrix} \\ \mathbf{0}_{1 \times 3} \end{bmatrix}$$

3. GCNv2: Efficient Correspondence Prediction for Real-Time SLAM

论文声称能够在嵌入式平台实时运行

此代码同样基于
ORB-SLAM(2019年开
源

参考之前基于ORB-SLAM
框架的多目SLAM是否能
够基于此代码？
速度比supperPoint要快

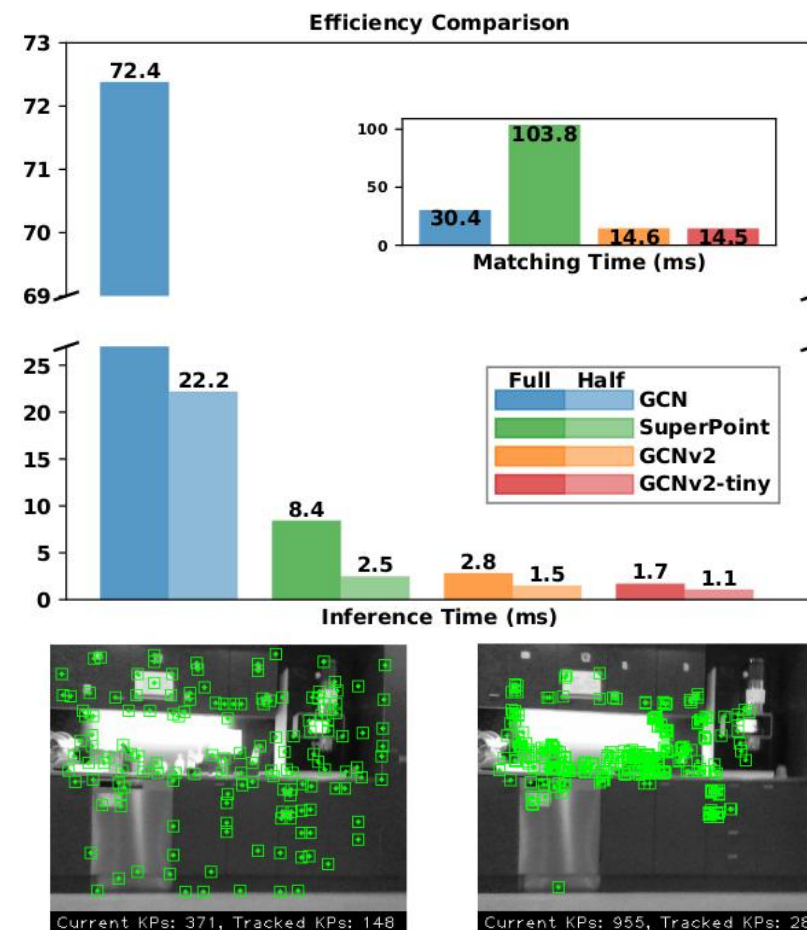
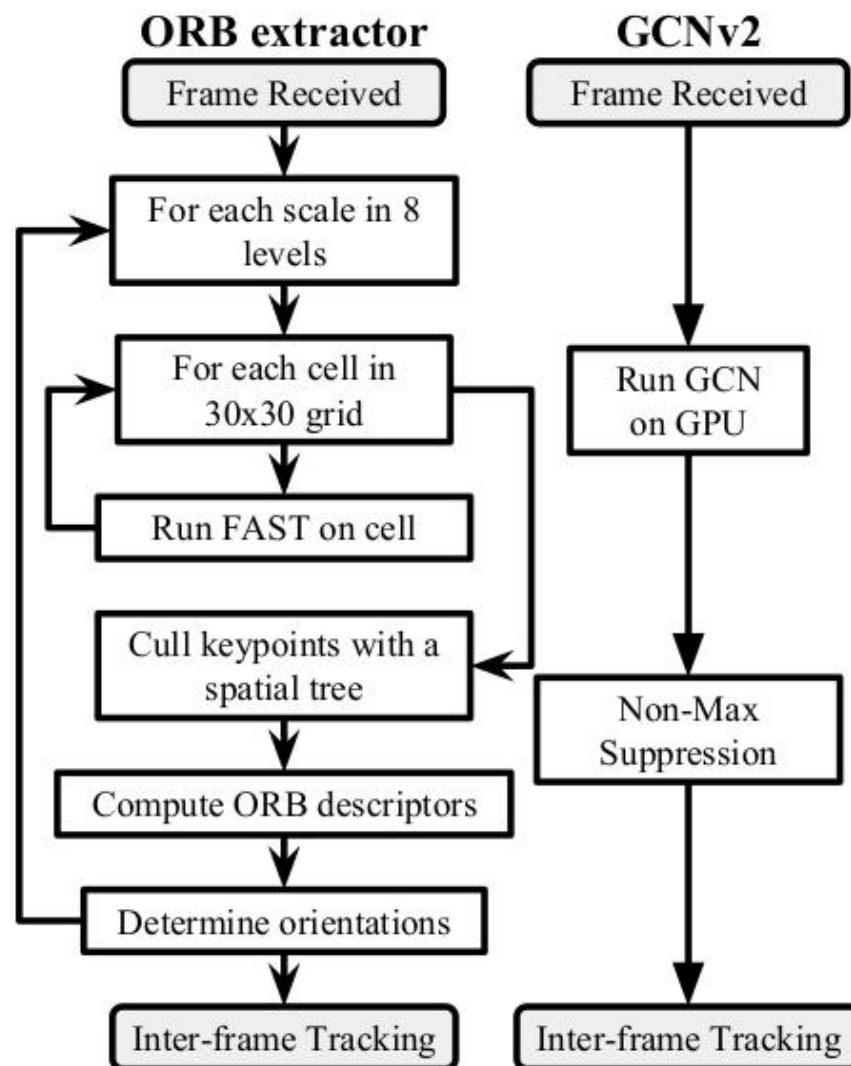
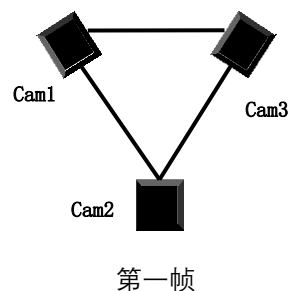


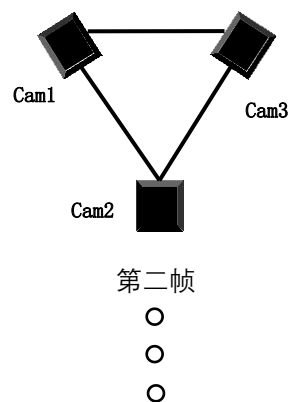
Fig. 1: The top figure shows our drone performing position hold using GCN-SLAM. The figures below show the intermediate output for comparison of binary features, ORB and GCNv2, in ORB-SLAM2 and GCN-SLAM respectively. GCNv2 (left) tends to predict more repeatable and evenly distributed features compared with ORB (right.)

3. 基于多相机的DSO(参考前面的基于ORB-SLAM框架的)

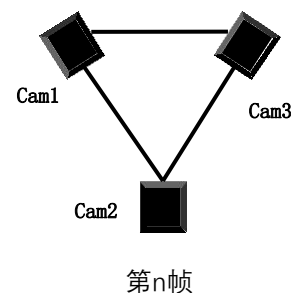
框架不变更多的数据的处理



提取各个图像中的梯度点构建makeKNN(), 潜在的成熟点和未成熟点 (开始之前是不是可以做一下弱纹理检测?)



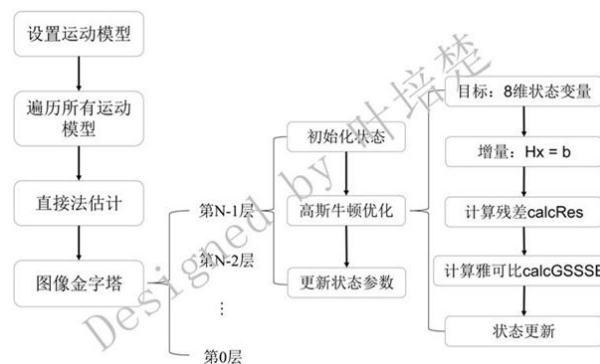
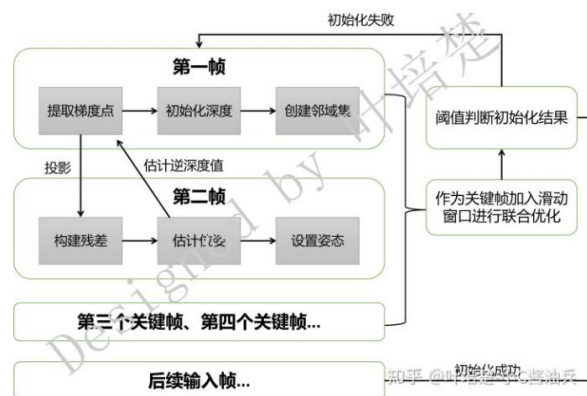
生成成熟点构建残差 (选择成熟点个数多的那个作为主导的camera?)



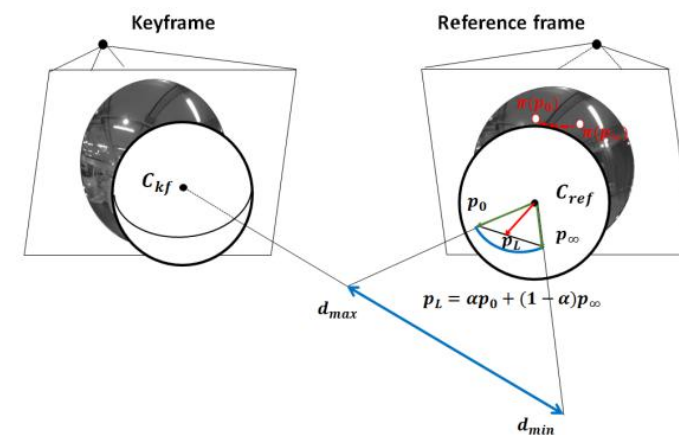
运动跟踪尝试多种运动模型

makeNoKeyFrame
makeKeyFrame

后端窗口优化以及边缘化



参考单目鱼眼DSO需要注意的是：投影到归一化球面用到对极曲线



深度滤波极限搜索会有不同

个人理解：多目的SLAM大体框架不会变动主要是数据关联以及求导

零空间

所谓零空间，在数学上是指方程

$$Hx = 0 \tag{1}$$

的解所形成的空间 $\{x | Hx = 0\}$ 。很显然，当矩阵 H 的行列式等于0时，方程有无数解，这些解就构成了所谓的零空间。在DSO中求解的增量方程，由于绝对尺度这个信息的缺失，对于同一个增量方程，显然有不同的状态量 x_1, x_2 满足

$$Hx_1 = b \tag{2}$$

$$Hx_2 = b \tag{3}$$

两式一减，就得到了公式（1）的形式：

$$H(x_2 - x_1) = 0 \tag{4}$$

DSO采用的滑动窗口法进行优化，当前面的关键帧离开滑动窗口后，最多只能通过少量的边缘化的点提供一定的先验信息。在某些情况下比如转弯过快等，关键帧生成速度很快，前面的帧来不及留下足够多的先验信息时（因为前面帧的点大多投影不到现在的帧上，构不成残差项）

DSO中的两个消除方法：FEJ和增量正交化

尺度问题：是不是能够做一下相机和激光的标定，利用激光数据作为两帧之间的一个先验

多目提供更多的先验信息一定程度消除漂移



图1 相机一个急转弯后尺度突然坍塌

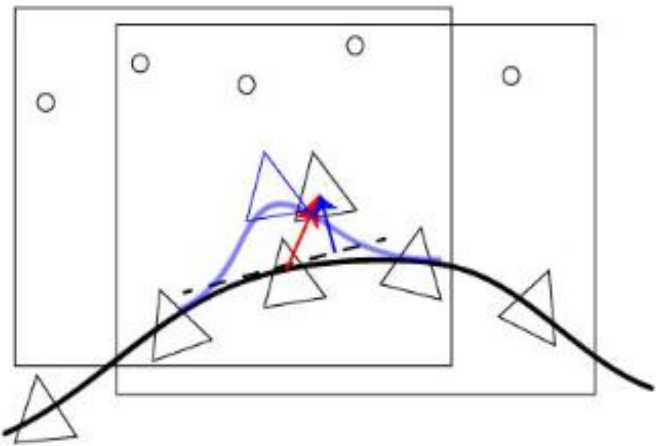


图2 增量正交化来缓解零空间漂移

1. 参考资料以及其它问题

1. Multi-Camera Tracking and Mapping for Unmanned Aerial Vehicles in Unstructured Environments (2015)
2. Multi-camera parallel tracking and mapping with non-overlapping fields of view (2014)
3. MULTICOL-SLAM - A MODULAR REAL-TIME MULTI-CAMERA SLAM SYSTEM (2016)
4. Multi-camera visual SLAM for autonomous navigation of micro aerial vehicles (2017)
5. Panoramic SLAM from a multiple fisheye camera rig (2020)
6. Multi-camera visual SLAM for off-road navigation (2020)

多相机标定：现在使用的标定工具不能支持多个相机一点公共视角都没有的情况

相机同步：有一篇论文中稍微提了一下(硬件同步和软件同步)

依托框架：实际操作在那种方法上改

效率问题：要求的帧率

THANKS

Operating Smart Robots for People